



Двухпозиционный Диодный Модуль МДх-250-36-С1

Изолированное основание
 Корпус промышленного стандарта
 Упрощенная механическая конструкция,
 быстрая сборка
 Прижимная конструкция

Средний прямой ток			I_{FAV}	250 A
Повторяющееся импульсное обратное напряжение			U_{RRM}	3000...3600 В
U_{RRM} , В	3000	3200	3400	3600
Класс по напряжению	30	32	34	36
T_j , °C	-40...+150			

МД3	МД4	МД5

ПРЕДЕЛЬНО ДОПУСТИМЫЕ ЗНАЧЕНИЯ ПАРАМЕТРОВ

Обозначение и наименование параметра		Ед. изм.	Значение	Условия измерения	
Параметры в проводящем состоянии					
I_{FAV}	Максимально допустимый средний прямой ток	A	250 338	$T_c=118\text{ }^\circ\text{C};$ $T_c=100\text{ }^\circ\text{C};$ 180 эл. град. синус; 50 Гц	
I_{FRMS}	Действующий прямой ток	A	392	$T_c=118\text{ }^\circ\text{C};$ 180 эл. град. синус; 50 Гц	
I_{FSM}	Ударный ток	кА	5.0 6.0	$T_j=T_{j\max}$ $T_j=25\text{ }^\circ\text{C}$	180 эл. град. синус; $t_p=10\text{ мс};$ единичный импульс; $U_R=0\text{ В};$
			5.5 6.5	$T_j=T_{j\max}$ $T_j=25\text{ }^\circ\text{C}$	180 эл. град. синус; $t_p=8.3\text{ мс};$ единичный импульс; $U_R=0\text{ В};$
I^2t	Защитный показатель	$A^2c\cdot 10^3$	120 180	$T_j=T_{j\max}$ $T_j=25\text{ }^\circ\text{C}$	180 эл. град. синус; $t_p=10\text{ мс};$ единичный импульс; $U_R=0\text{ В};$
			120 170	$T_j=T_{j\max}$ $T_j=25\text{ }^\circ\text{C}$	180 эл. град. синус; $t_p=8.3\text{ мс};$ единичный импульс; $U_R=0\text{ В};$
Блокирующие параметры					
U_{RRM}	Повторяющееся импульсное обратное напряжение	B	3000...3600	$T_{j\min} < T_j < T_{j\max};$ 180 эл. град. синус; 50 Гц	
U_{RSM}	Неповторяющееся импульсное обратное напряжение	B	3100...3700	$T_{j\min} < T_j < T_{j\max};$ 180 эл. град. синус; единичный импульс	
U_R	Постоянное обратное напряжение	B	$0.6 \cdot U_{RRM}$	$T_j = T_{j\max};$	
Тепловые параметры					
T_{stg}	Температура хранения	$^\circ\text{C}$	-40...+50		
T_j	Температура р-п перехода	$^\circ\text{C}$	-40...+150		
$T_{c\text{ op}}$	Рабочая температура корпуса	$^\circ\text{C}$	-40...+125		
Механические параметры					
a	Ускорение	$\text{м}/\text{с}^2$	50		

ХАРАКТЕРИСТИКИ

Обозначение и наименование характеристики		Ед. изм.	Значение	Условия измерения	
Характеристики в проводящем состоянии					
U_{FM}	Импульсное прямое напряжение, макс	B	1.70	$T_j=25\text{ }^\circ\text{C}; I_{FM}=785\text{ A}$	
$U_{F(TO)}$	Пороговое напряжение, макс	B	0.824	$T_j=T_{j\max};$	
r_T	Динамическое сопротивление, макс	МОм	1.235	$0.5 \pi I_{FAV} < I_T < 1.5 \pi I_{FAV}$	
Блокирующие характеристики					
I_{RRM}	Повторяющийся импульсный обратный ток, макс	мА	30 2.50	$T_j=T_{j\max};$ $T_j=25\text{ }^\circ\text{C}$	$U_R=U_{RRM}$
Динамические характеристики					
Q_r	Заряд восстановления, макс	мкКл	1940	$T_j=T_{j\max}; I_{TM}=250\text{ A};$ $di_R/dt=-5\text{ A}/\text{мкс};$ $U_R=100\text{ В}$	
t_{rr}	Время обратного восстановления, макс	мкс	45		
I_{rr}	Обратный ток восстановления, макс	A	86		

Тепловые характеристики				
R _{thjc}	Тепловое сопротивление р-п переход-корпус, макс			180 эл. град. синус; 50 Гц
	на модуль	°C/Вт	0.0400	
	на позицию	°C/Вт	0.0800	
R _{thch}	Тепловое сопротивление корпус-охладитель, макс			
	на модуль	°C/Вт	0.0200	
	на позицию	°C/Вт	0.0400	
Характеристики изоляции				
U _{ISOL}	Электрическая прочность изоляции	кВ	3.00	синус; 50 Гц; действующее значение
			3.60	
Механические характеристики				
M ₁	Момент затяжки основания (M6) ¹⁾	Нм	6.00	Допуск ± 15%
M ₂	Момент затяжки выводов (M8) ¹⁾	Нм	9.00	Допуск ± 15%
m	Масса, макс	г	860	

МАРКИРОВКА		ПРИМЕЧАНИЕ																					
<table border="1"> <tr> <td>МД</td> <td>3</td> <td>-</td> <td>250</td> <td>-</td> <td>36</td> <td>-</td> <td>C1</td> <td>-</td> <td>У2</td> </tr> <tr> <td>1</td> <td>2</td> <td>3</td> <td>4</td> <td>5</td> <td>6</td> <td></td> <td></td> <td></td> <td></td> </tr> </table> <p>1. МД – Диодный Модуль 2. Схема включения 3. Средний прямой ток, А 4. Класс по напряжению 5. Тип корпуса (M.C1) 6. Климатическое исполнение по ГОСТ 15150: У2</p>	МД	3	-	250	-	36	-	C1	-	У2	1	2	3	4	5	6					¹⁾ Резьба должна быть смазана		
МД	3	-	250	-	36	-	C1	-	У2														
1	2	3	4	5	6																		

Содержащаяся здесь информация является конфиденциальной и находится под защитой авторских прав. В интересах улучшения качества продукции, АО «Протон-Электротекс» оставляет за собой право изменять информационные листы без уведомления.

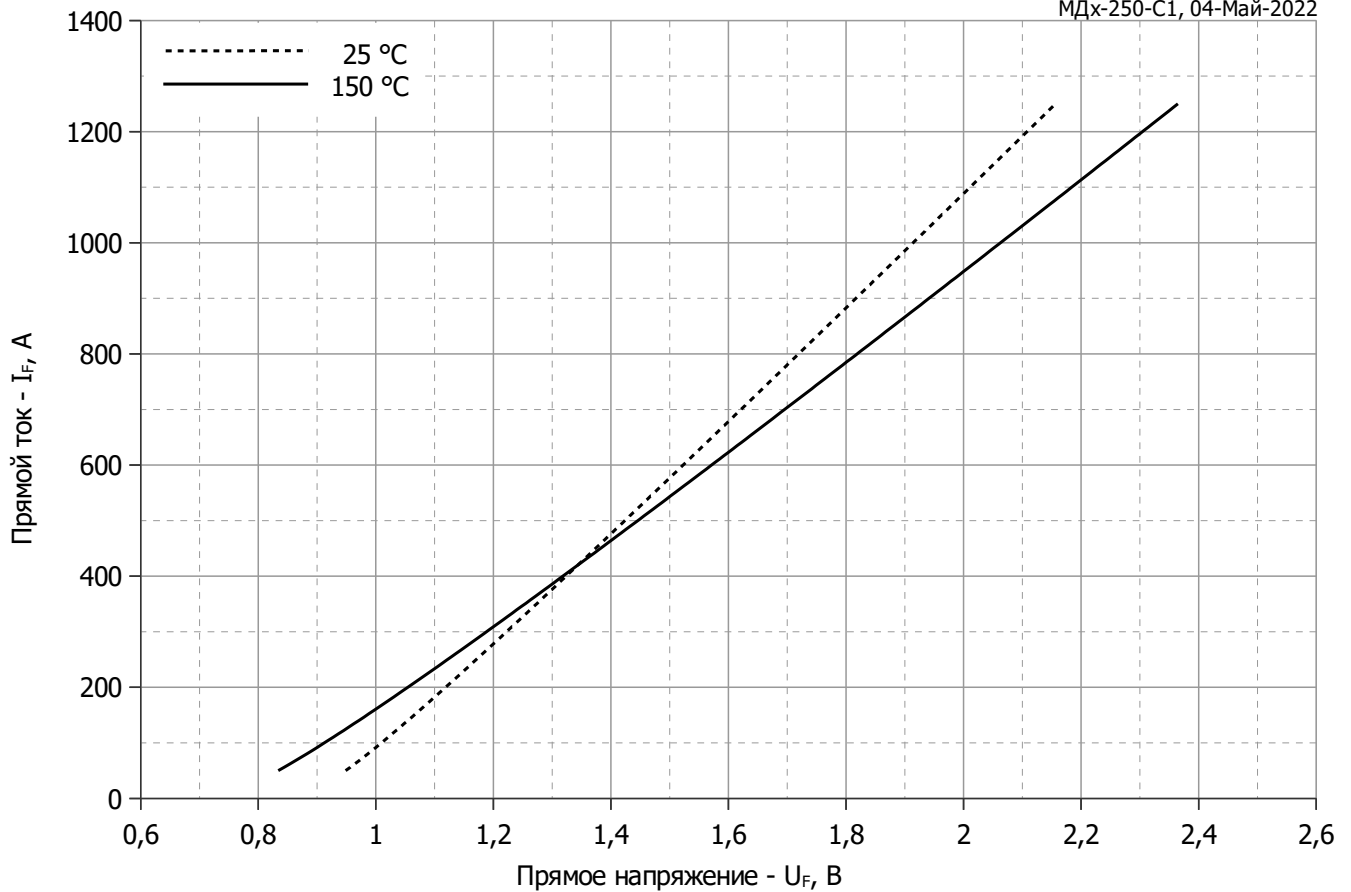


Рис. 1 – Предельная вольт–амперная характеристика

Аналитическая функция предельной вольт — амперной характеристики:

$$U_F = A + B \cdot i_F + C \cdot \ln(i_F + 1) + D \cdot \sqrt{i_F}$$

	Коэффициенты для графика	
	T _j = 25°C	T _j = T _{j max}
A	0.83361824	0.71362581
B	0.00093720	0.00109637
C	0.01512401	0.00374898
D	0.00122656	0.00717691

Модель предельной вольт – амперной характеристики (см. Рис. 1).

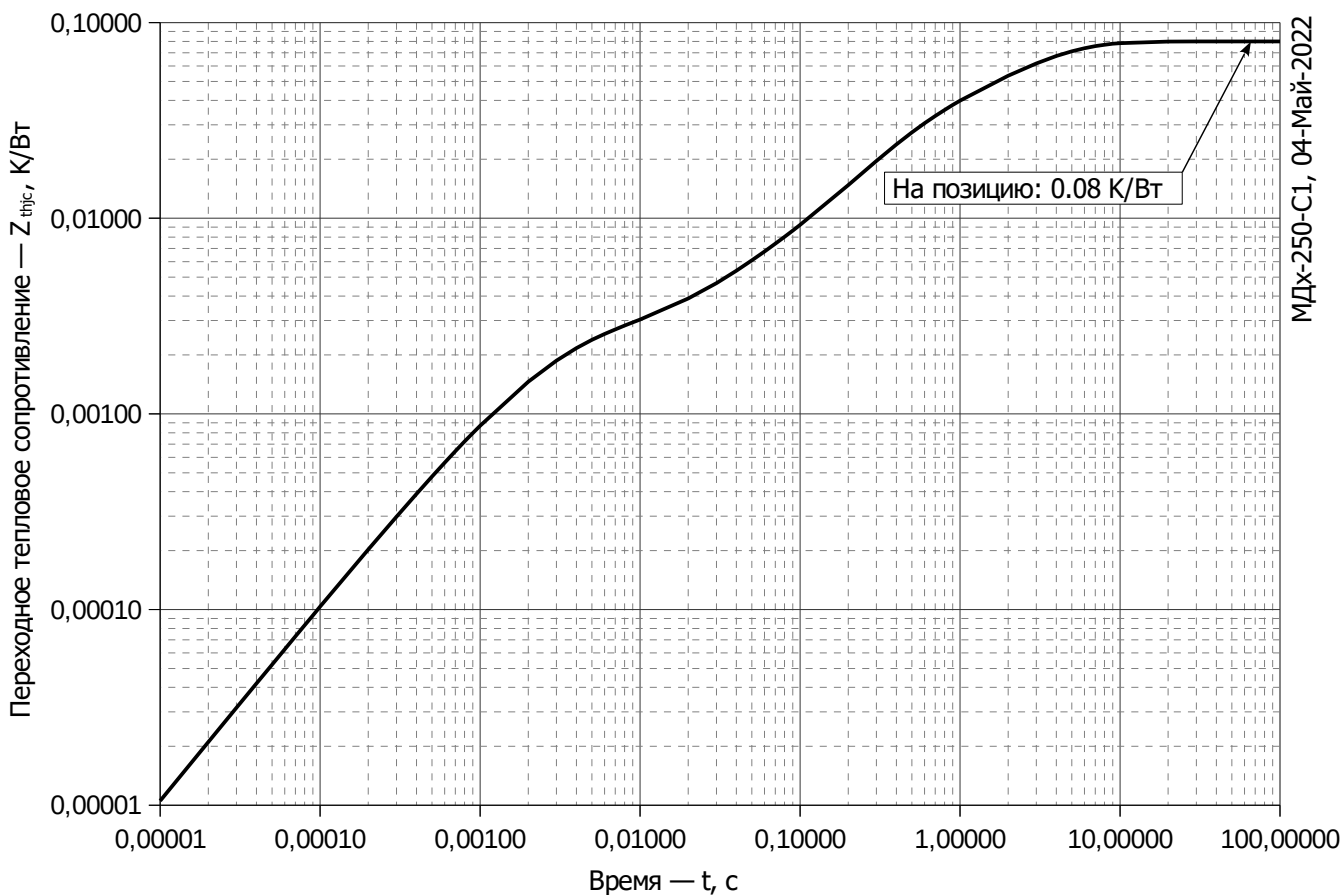


Рис. 2 – Зависимость переходного теплового сопротивления Z_{thjc} от времени t

Аналитическая зависимость переходного теплового сопротивления переход — корпус:

$$Z_{thjc} = \sum_{i=1}^n R_i \left(1 - e^{-\frac{t}{\tau_i}} \right)$$

Где $i = 1$ до n , n – число суммирующихся элементов.

t = продолжительность импульсного нагрева в секундах.

Z_{thjc} = Тепловое сопротивление за время t .

R_i, τ_i = расчетные коэффициенты, приведенные в таблице.

Постоянный ток

i	1	2	3	4	5	6
$R_i, \text{К/Вт}$	0.0507	0.007806	0.02226	-0.007688	0.00471	0.00217
$\tau_i, \text{с}$	2.801	1.283	0.3281	0.09408	0.0572	0.002255

Модель переходного теплового сопротивления переход - корпус (см. Рис. 2)

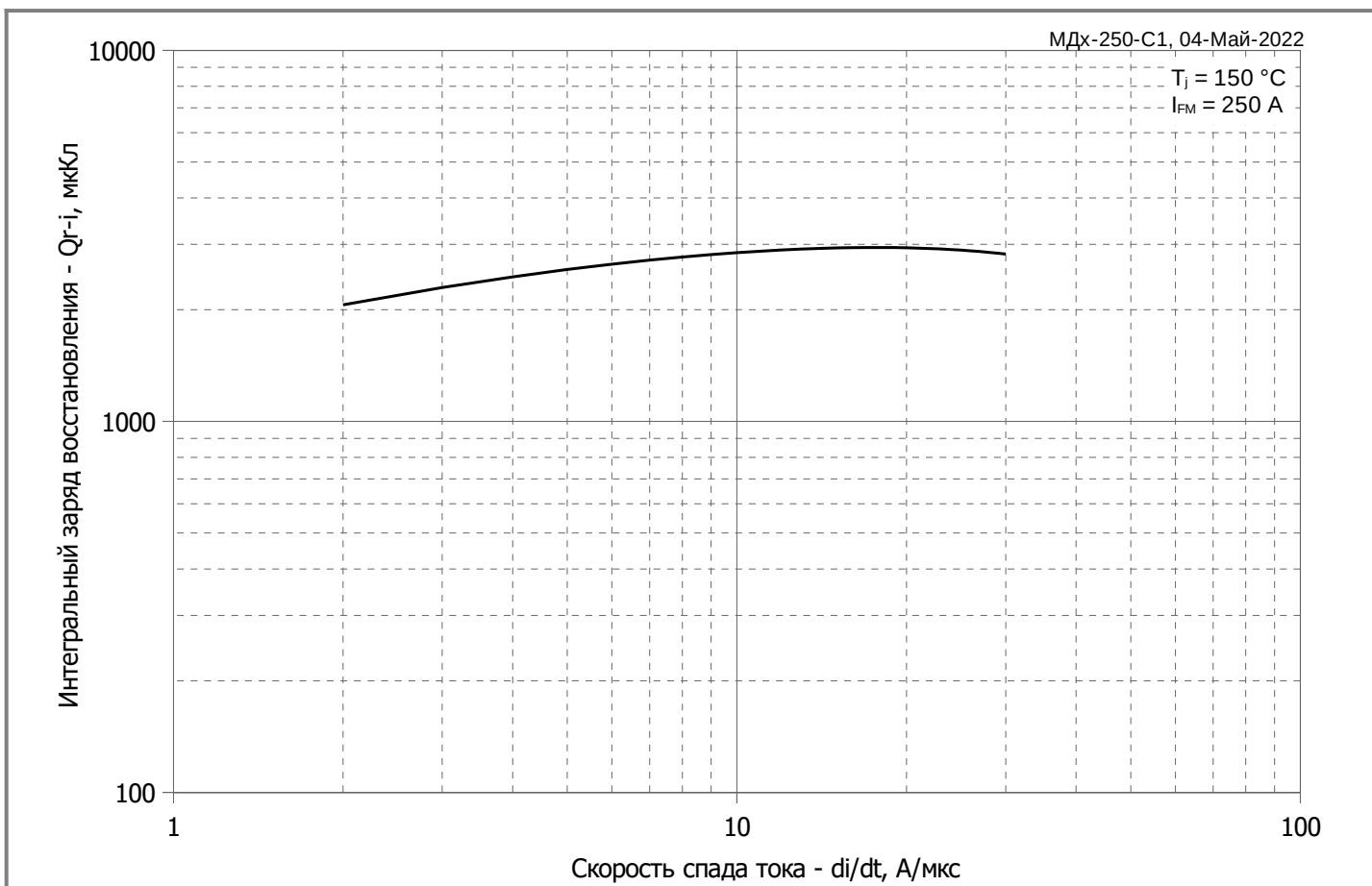


Рис. 3 – Зависимость максимального интегрального заряда восстановления Q_{r-i} от скорости спада прямого тока di_R/dt

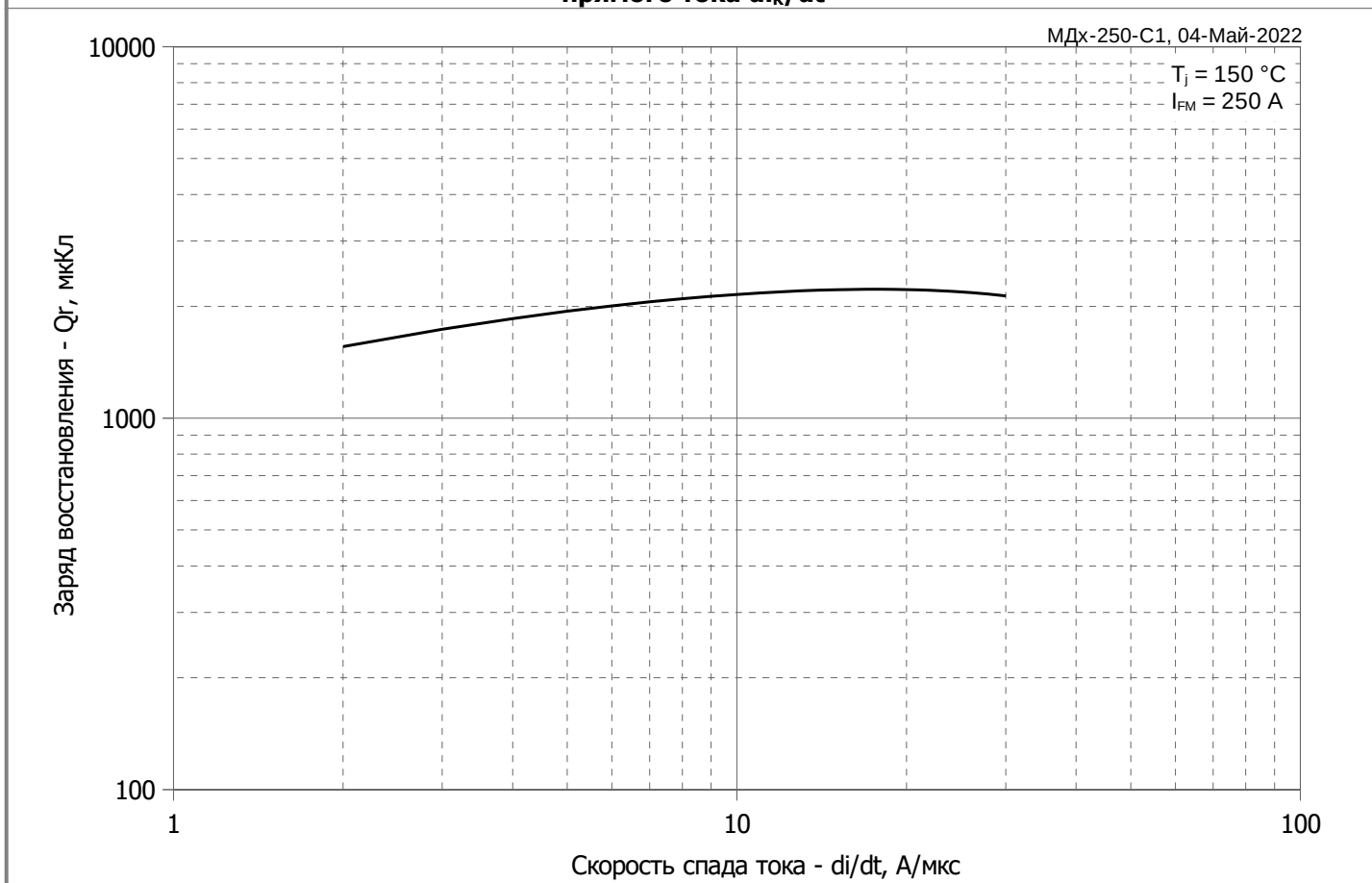


Рис. 4 – Зависимость максимального заряда восстановления Q_r от скорости спада прямого тока di_R/dt (по ГОСТ 24461, хорда 25%)

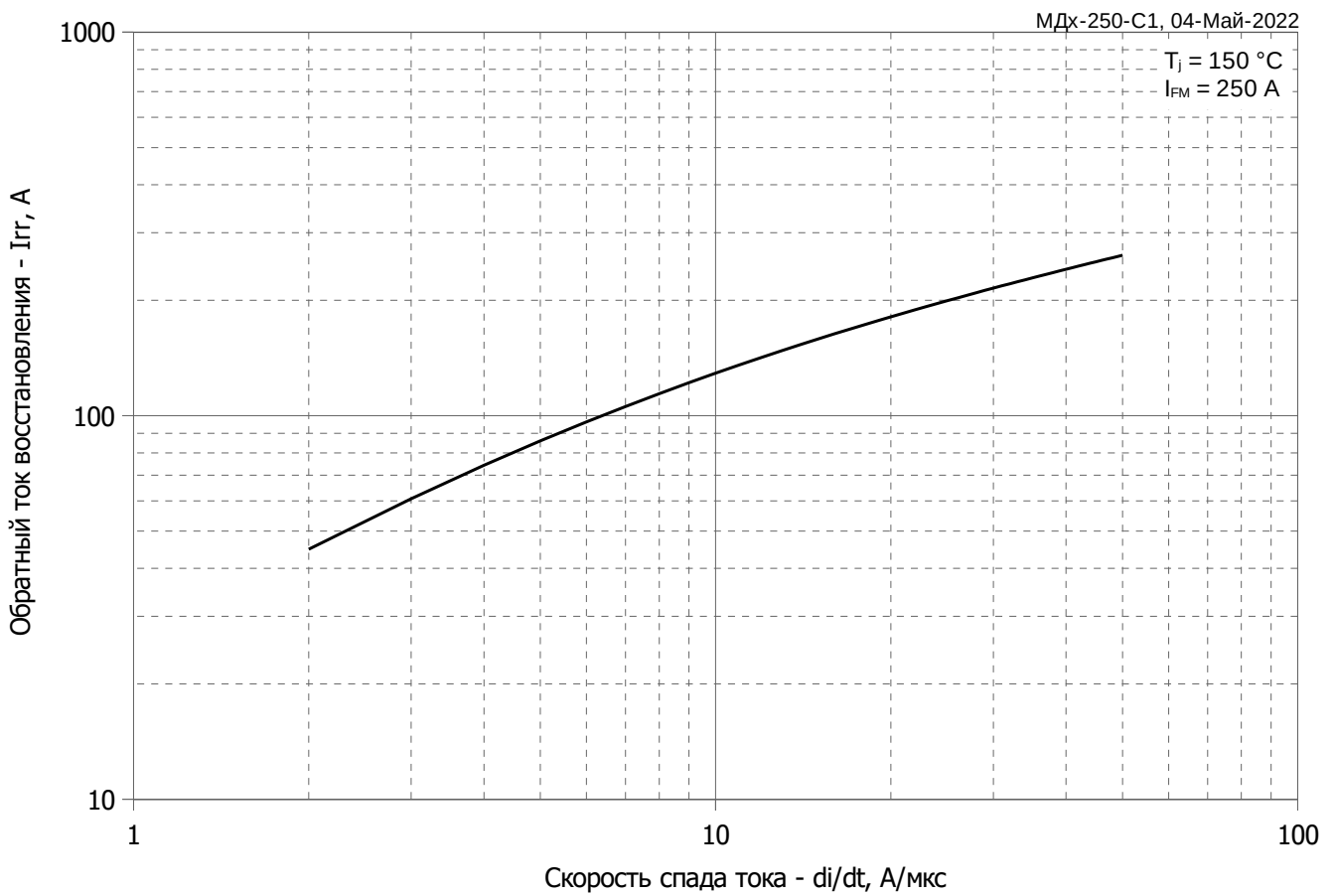


Рис. 5 – Зависимость максимального обратного тока восстановления I_{tr} от скорости спада прямого тока di_R/dt

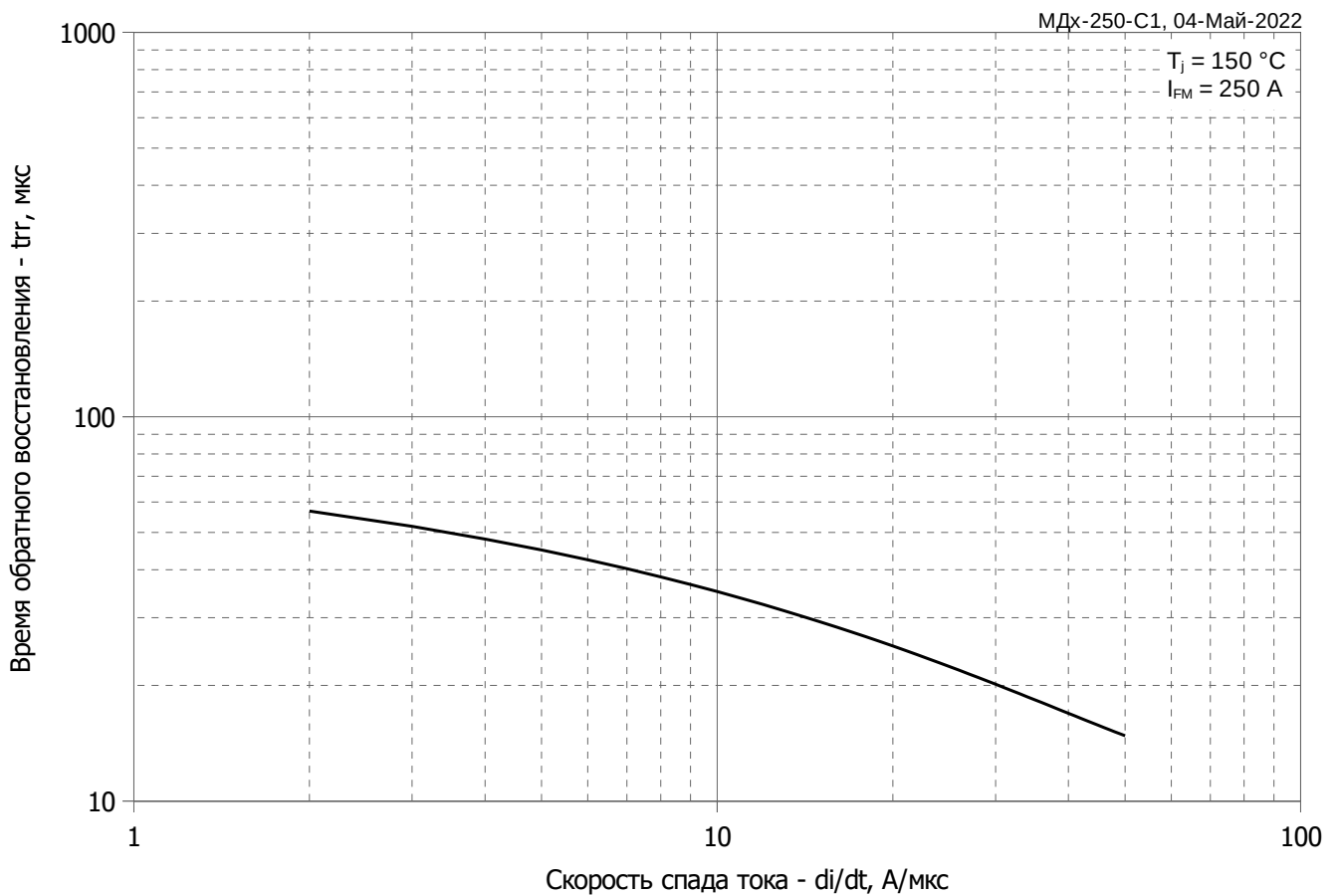


Рис. 6 - Зависимость максимального времени обратного восстановления t_{tr} от скорости спада прямого тока di_R/dt (по ГОСТ 24461, хорда 25%)

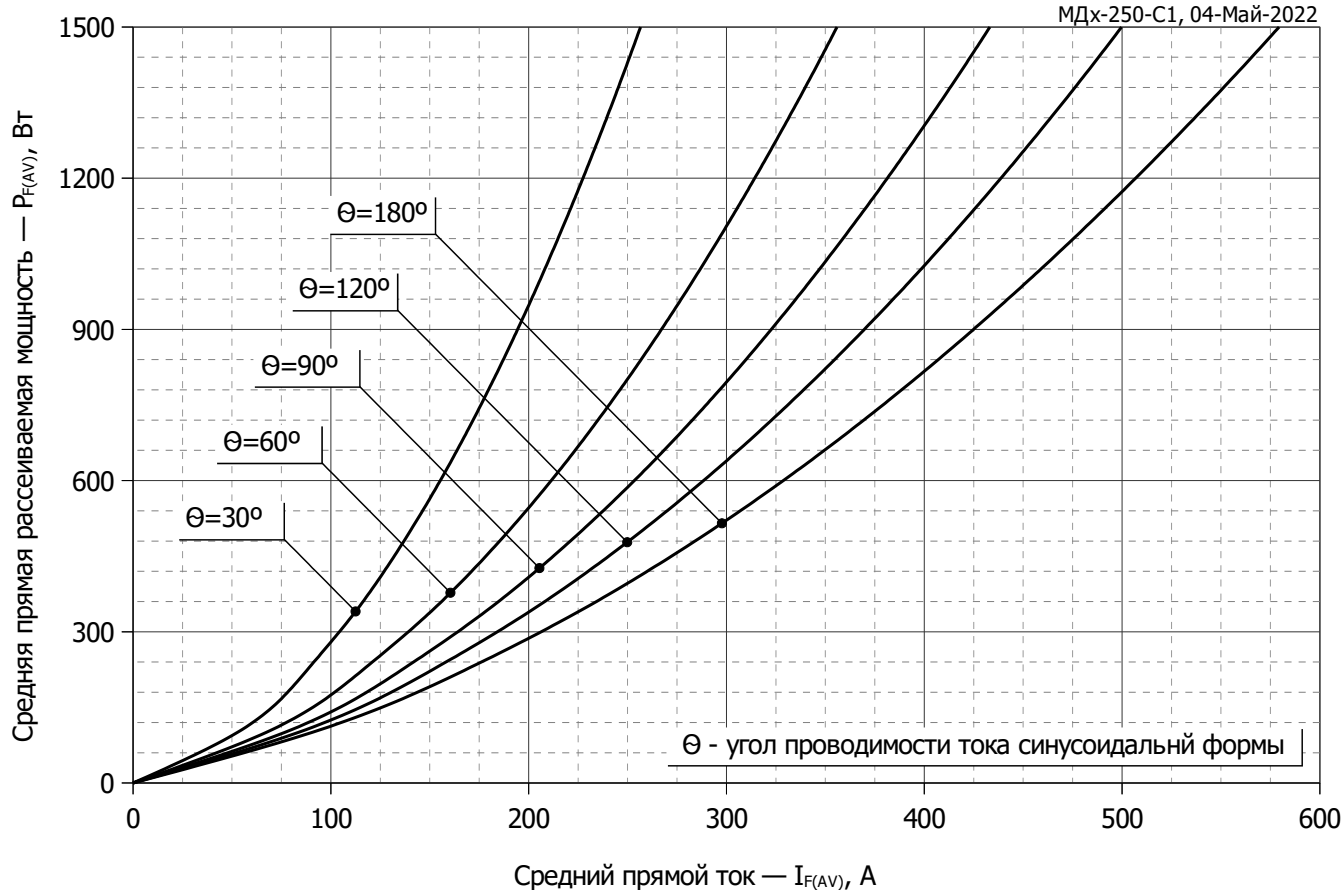


Рис. 7 - Зависимость потерь мощности P_{FAV} от среднего прямого тока I_{FAV} синусоидальной формы при различных углах проводимости ($f=50$ Гц)

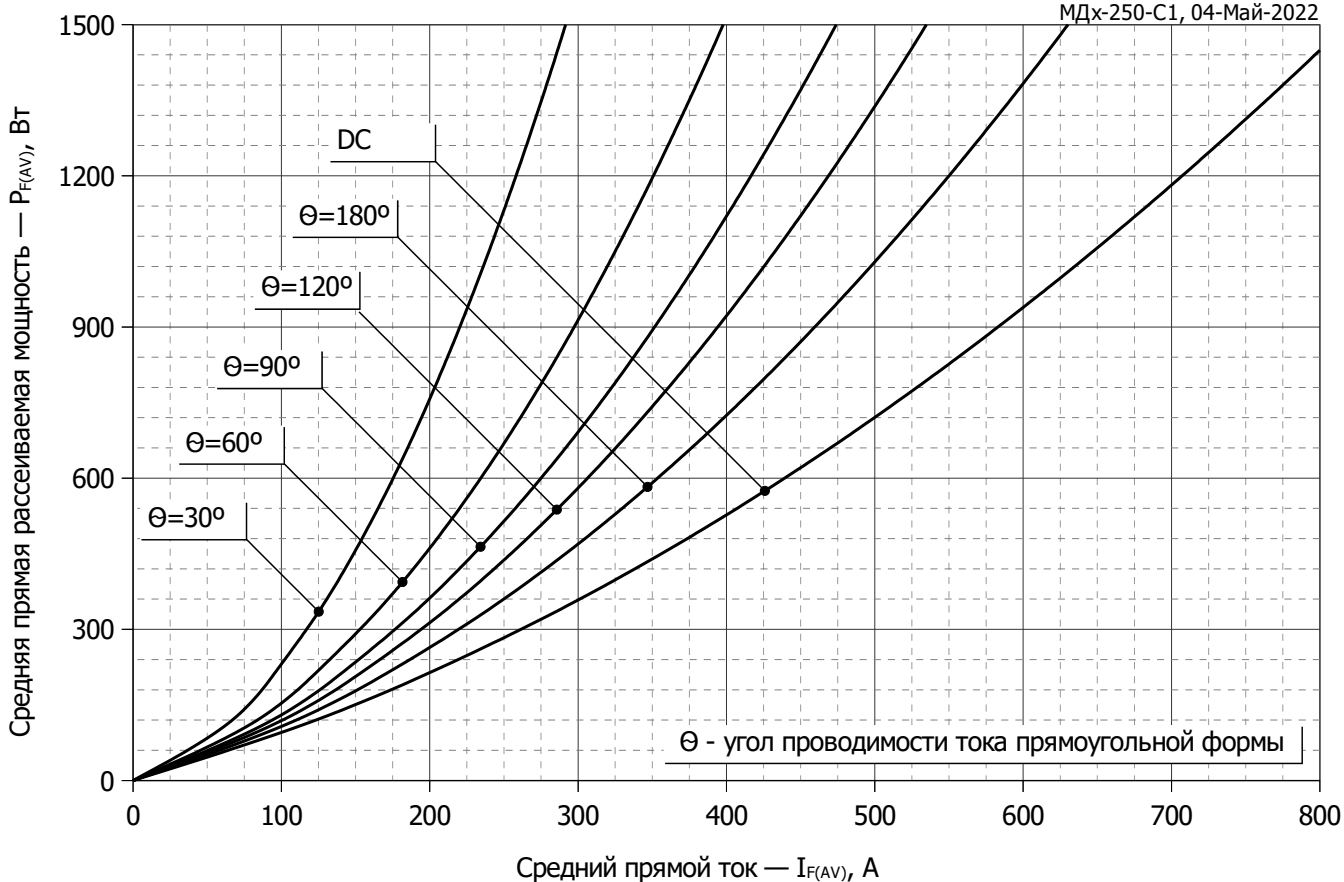


Рис. 8 - Зависимость потерь мощности P_{FAV} от среднего прямого тока I_{FAV} прямоугольной формы при различных углах проводимости ($f=50$ Гц)

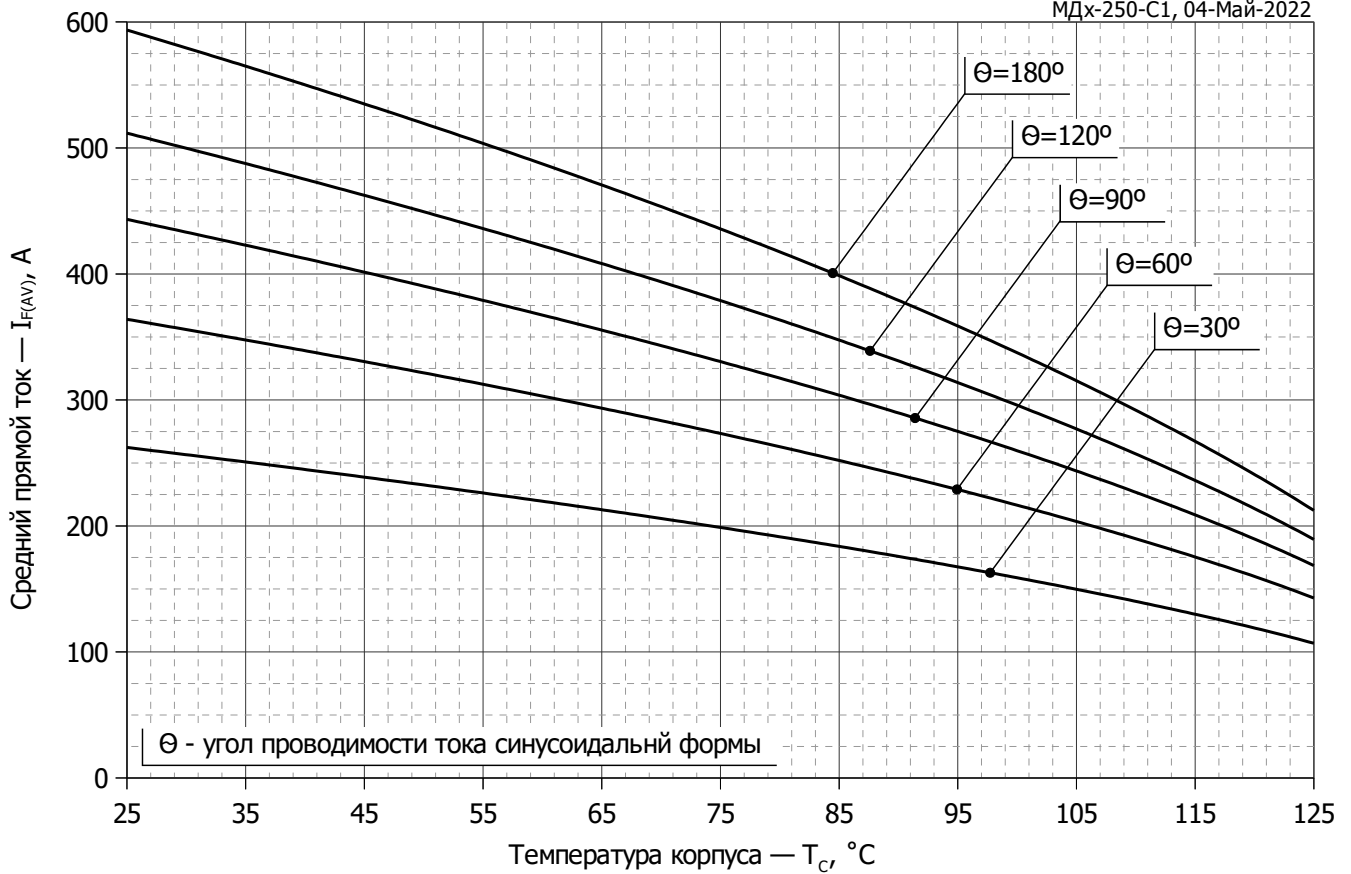


Рис. 9 – Зависимость среднего прямого тока I_{FAV} от температуры корпуса T_C для синусоидальной формы тока при различных углах проводимости ($f=50$ Гц)

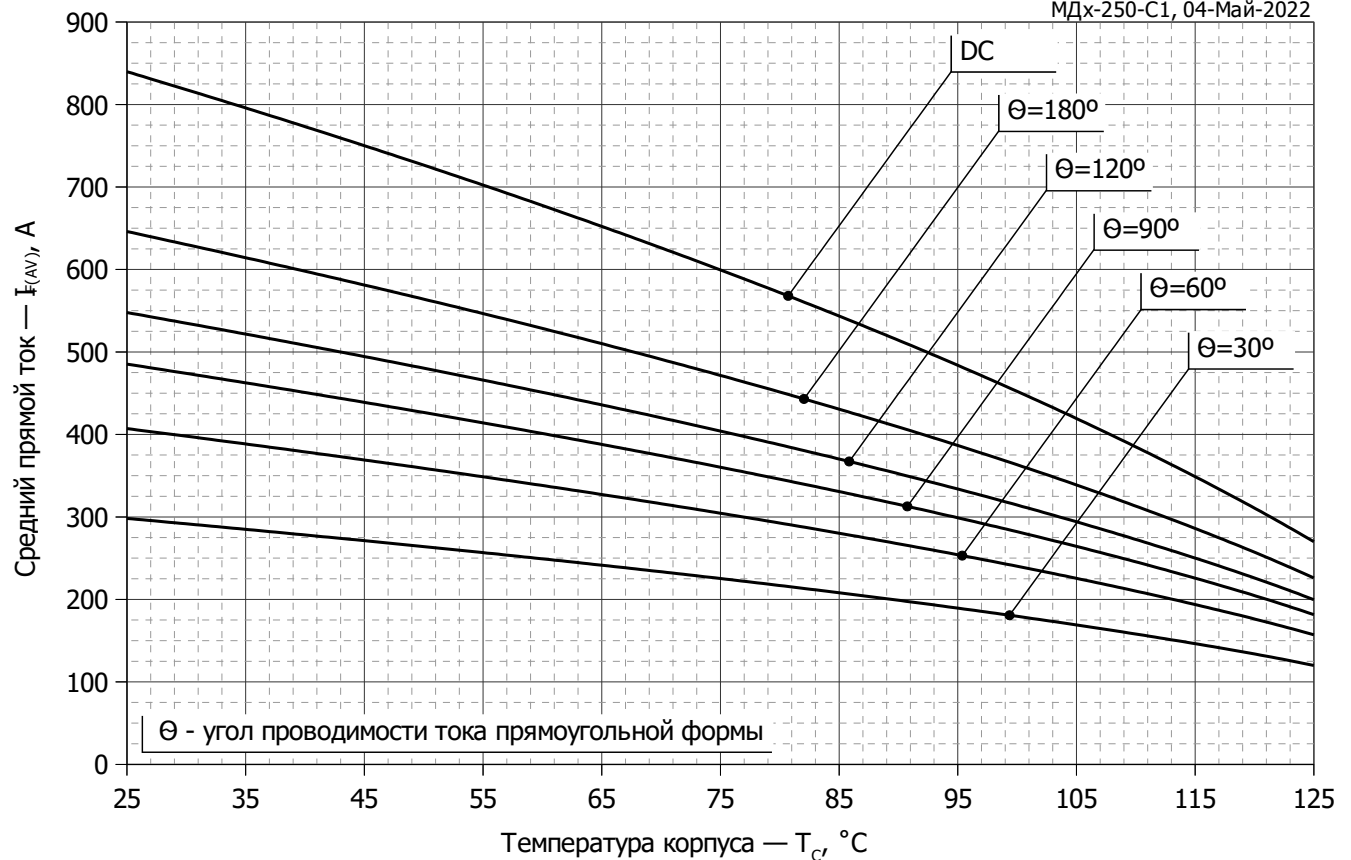


Рис. 10 - Зависимость среднего прямого тока I_{FAV} от температуры корпуса T_C для прямоугольной формы тока при различных углах проводимости ($f=50$ Гц)

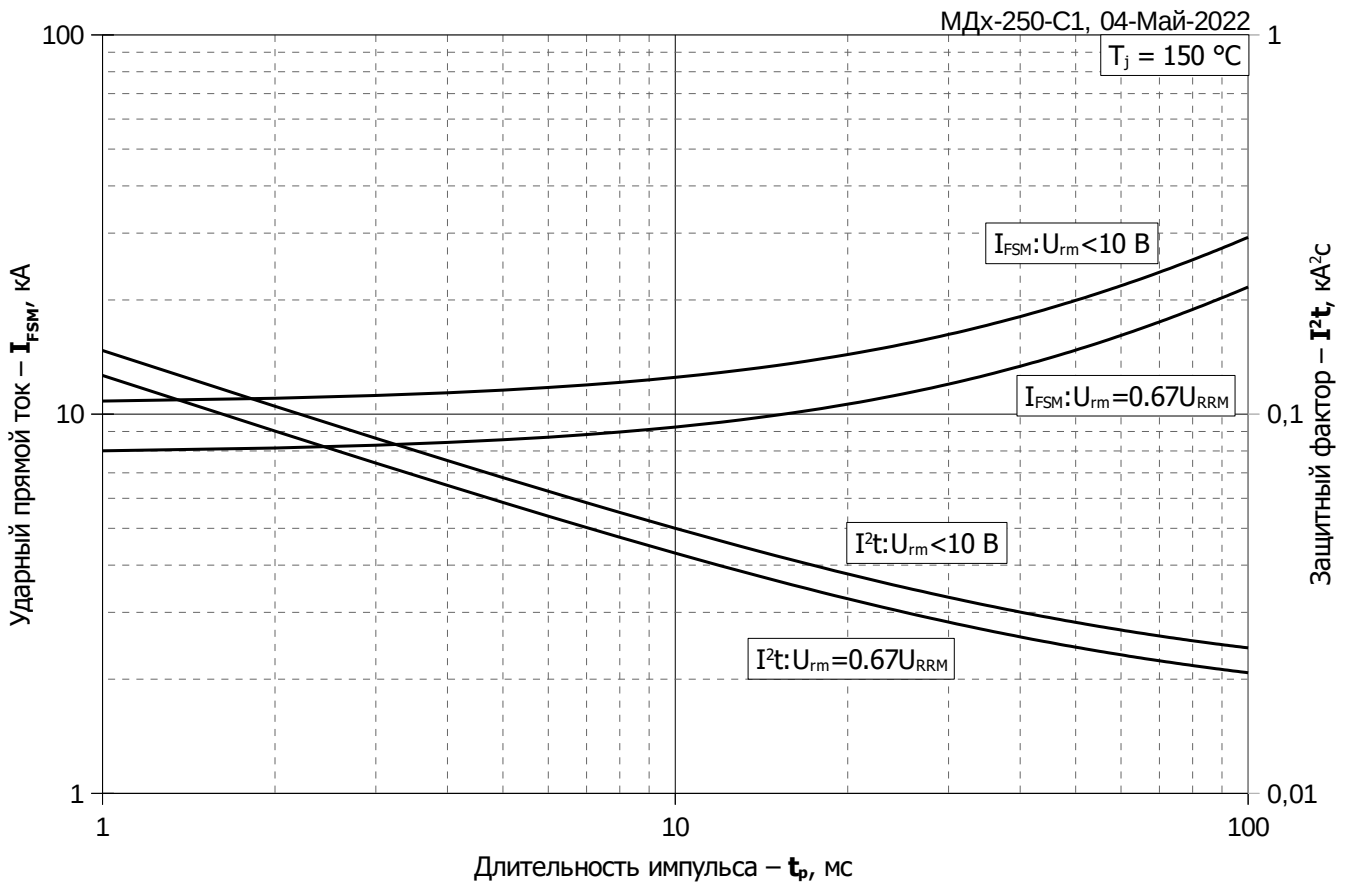


Рис. 11 – Зависимость максимальной амплитуды ударного прямого тока I_{FSM} и защитного фактора I^2t от длительности импульса t_p

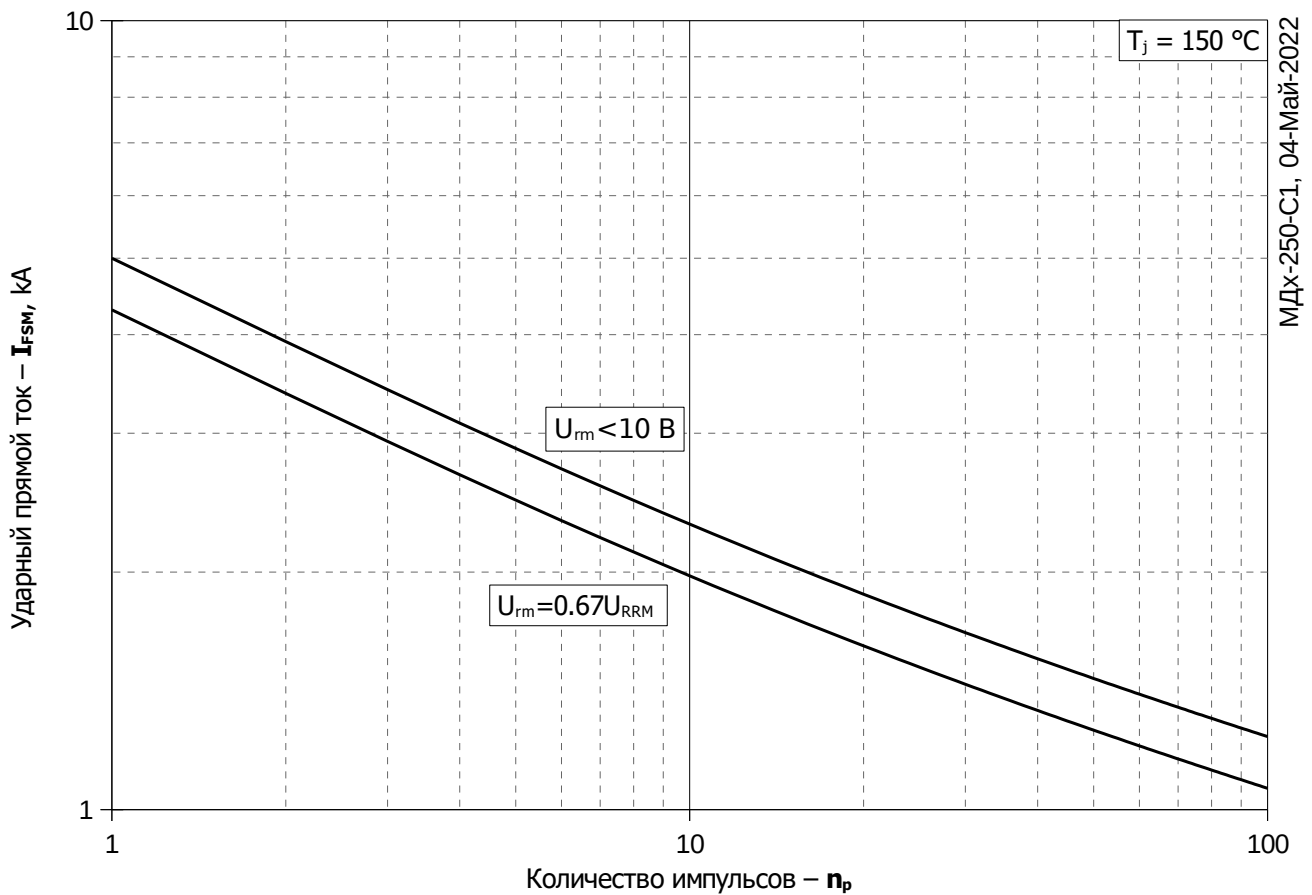


Рис. 12 – Зависимость максимальной амплитуды ударного прямого тока I_{FSM} от количества импульсов n_p